

## ВОЗНИКНОВЕНИЕ НЕНАГРУЖЕННОГО СОСТОЯНИЯ В ОДНОРОДНОМ СТЕРЖНЕ ПРИ СОУДАРЕНИИ СТЕРЖНЕВОЙ СИСТЕМЫ С ЖЕСТКОЙ ПРЕГРАДОЙ

Асп. А. А. БИТЮРИН, д-р техн. наук, В. К. МАНЖОСОВ

*Рассмотрена волновая модель продольного удара стержневой системы о жесткую преграду. Установлены параметры стержневой системы, обеспечивающие возникновение ненагруженного состояния одного из ее участков.*

*The wave model of longitudinal impact by framework exposure to rigid obstruction is examined. The parameters of framework ensuring the origin of no-load condition inside one of its blocks are set.*

Эффективное применение ударных машин при обработке материалов и изделий в различных отраслях современной промышленности, снижение числа выхода из строя оборудования во время технологического процесса, сокращение численности брака обрабатываемых изделий требует учета многих факторов, выявление которых является широким направлением научно-исследовательской работы. Обрабатываемые материалы и изделия могут иметь различную твердость и крепость. Основными рабочими элементами любого ударного механизма являются ударная масса и рабочий инструмент, представляющие из себя в большинстве случаев системы однородных и неоднородных стержней определенной массы и размеров. Особый интерес представляет нанесение удара рабочим инструментом по абсолютно жесткой преграде, поскольку данная ситуация является аварийной. Следовательно, именно здесь в наибольшей степени встает вопрос правильного подбора рабочих элементов ударной машины с целью повышения ее надежности и предотвращения поломок.

Рассматривается модель продольного удара о жесткую преграду стержневой системы, состоящей из двухступенчатого и однородного стержней, (рис. 1). В сечении взаимодействия однородного стержня с жесткой преградой  $x=l$  и в контактном сечении  $x=l_1+l_2$  стержневой системы связи неудерживающие. Длина начального участка 1 двухступенчатого стержня равна  $l_1$ , конечного участка 2 стержня равна  $l_2$ , масса обоих участков —  $m_1$ . Длина однородного стержня (участок 3)  $l_3$ , масса —  $m_2$ . Оба стержня движутся со скоростью  $V_0$  в сторону жесткой преграды. Общая длина стержневой системы равна  $l$ . Используется волновая модель продольного удара [1—4]. Все стержни состоят из одного материала.

Движение поперечных сечений соударяемых стержней описывается волновыми уравнениями вида

$$\frac{\partial^2 u_1(x, t)}{\partial x^2} - \frac{1}{a^2} \frac{\partial^2 u_1(x, t)}{\partial t^2} = 0, \quad 0 \leq x \leq l_1, \quad (1)$$

$$\frac{\partial^2 u_2(x, t)}{\partial x^2} - \frac{1}{a^2} \frac{\partial^2 u_2(x, t)}{\partial t^2} = 0, \quad l_1 \leq x \leq l_1 + l_2, \quad (2)$$

$$\frac{\partial^2 u_3(x, t)}{\partial x^2} - \frac{1}{a^2} \frac{\partial^2 u_3(x, t)}{\partial t^2} = 0, \quad l_1 + l_2 \leq x \leq l, \quad (3)$$

где  $u_1(x, t)$ ,  $u_2(x, t)$ ,  $u_3(x, t)$  — продольные перемещения поперечных сечений соответственно участков 1, 2 и 3,  $x$  — координата сечения,  $t$  — время,  $a$  — скорость распространения продольной волны деформации.

Начальные условия определяют состояние стержней перед их соударением: при  $t = t_0 = 0$

$$\frac{\partial u_1(x, t_0)}{\partial t} = V_0, \quad \frac{\partial u_1(x, t_0)}{\partial x} = 0, \quad \frac{\partial u_2(x, t_0)}{\partial t} = V_0, \quad \frac{\partial u_2(x, t_0)}{\partial x} = 0, \quad (4)$$

$$\frac{\partial u_3(x, t_0)}{\partial t} = V_0, \quad \frac{\partial u_3(x, t_0)}{\partial x} = 0.$$

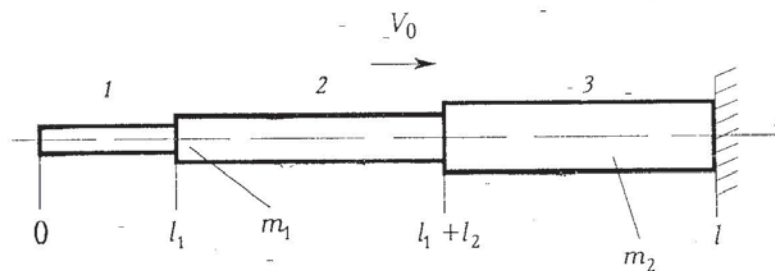


Рис. 1. Схема удара неоднородных стержней при неударяющихся связях

Краевые условия определяют отсутствие силы в сечении  $x = 0$  и равенство нулю скорости сечения  $x = l$  при взаимодействии участка 3 неоднородного стержня с жесткой преградой:

$$\frac{\partial u_1(0, t)}{\partial x} = 0, \quad \frac{\partial u_3(l, t)}{\partial t} = 0, \quad (5)$$

а также определяют равенство сил и условия сопряжения в ударных сечениях  $x = l_1 + l_2$  конечного участка 2 неоднородного двухступенчатого стержня и однородного стержня (участок 3) при непосредственном их взаимодействии

$$EA_2 \frac{\partial u_2(l_1 + l_2, t)}{\partial x} = EA_3 \frac{\partial u_3(l_1 + l_2, t)}{\partial x}, \quad \text{если } \frac{\partial u_2(l_1 + l_2, t)}{\partial x} < 0, \quad (6)$$

$$\frac{\partial u_2(l_1 + l_2, t)}{\partial t} = \frac{\partial u_3(l_1 + l_2, t)}{\partial t}, \quad \text{если } \frac{\partial u_2(l_1 + l_2, t)}{\partial x} < 0, \quad (7)$$

либо отсутствие сил в ударных сечениях стержней, если их взаимодействие отсутствует:

$$\frac{\partial u_2(l_1 + l_2, t)}{\partial x} = 0, \quad \frac{\partial u_3(l_1 + l_2, t)}{\partial x} = 0, \quad \text{если } u_1(l_1 + l_2, t) > u_2(l_1 + l_2, t), \quad (8)$$

где  $E$  — модуль упругости первого рода,  $A_2$  — площадь поперечного сечения участка 2 неоднородного стержня,  $A_3$  — площадь поперечного сечения однородного стержня.

В переходном сечении  $x = l_1$  начального и конечного участков ступенчатого стержня краевые условия также определяют равенство сил и равенство скоростей сопряженных сечений

$$EA_1 \frac{\partial u_1(l_1, t)}{\partial x} = EA_2 \frac{\partial u_2(l_1, t)}{\partial x}, \quad (9)$$

$$\frac{\partial u_1(l_1, t)}{\partial t} = \frac{\partial u_2(l_1, t)}{\partial t}, \quad (10)$$

где  $A_1$  — площадь поперечного сечения начального участка  $l$  ступенчатого стержня.

По методу Даламбера решение уравнений (1), (2) и (3) представляется в виде

$$u_1(x, t) = f_1(at - x) + \varphi_1(at + x), \quad 0 \leq x \leq l_1, \quad (11)$$

$$u_2(x, t) = f_2(at - x) + \varphi_2(at + x), \quad l_1 \leq x \leq l_1 + l_2, \quad (12)$$

$$u_3(x, t) = f_3(at - x) + \varphi_3(at + x), \quad l_1 + l_2 \leq x \leq l, \quad (13)$$

$$\frac{\partial u_1(x, t)}{\partial x} = -f_1'(at - x) + \varphi_1'(at + x), \quad \frac{\partial u_1(x, t)}{\partial t} = a[f_1'(at - x) + \varphi_1'(at + x)], \quad (14)$$

$$\frac{\partial u_2(x, t)}{\partial x} = -f_2'(at - x) + \varphi_2'(at + x), \quad \frac{\partial u_2(x, t)}{\partial t} = a[f_2'(at - x) + \varphi_2'(at + x)], \quad (15)$$

$$\frac{\partial u_3(x, t)}{\partial x} = -f_3'(at - x) + \varphi_3'(at + x), \quad \frac{\partial u_3(x, t)}{\partial t} = a[f_3'(at - x) + \varphi_3'(at + x)], \quad (16)$$

где  $f_1(at - x)$ ,  $f_2(at - x)$ ,  $f_3(at - x)$  — функции, описывающие прямые волны, распространяющиеся соответственно по участкам 1, 2 и 3 в направлении оси  $x$ ;  $\varphi_1(at + x)$ ,  $\varphi_2(at + x)$ ,  $\varphi_3(at + x)$  — функции, описывающие обратные волны, распространяющиеся по участкам 1, 2 и 3 в противоположном направлении;  $f_1'(at - x)$ ,  $f_2'(at - x)$ ,  $f_3'(at - x)$ ,  $\varphi_1'(at + x)$ ,  $\varphi_2'(at + x)$ ,  $\varphi_3'(at + x)$  — производные функций.

Перейдем к относительным величинам, характеризующим прямые и обратные вол-

ны:  $\bar{f}'(at - x) = f'(at - x) / \frac{V_0}{a}$ ;  $\bar{\varphi}'(at + x) = \varphi'(at + x) / \frac{V_0}{a}$ . Относительная продольная деформация в сечении и скорость этого сечения соответственно:  $\bar{\varepsilon}(x, t) = -\bar{f}'(at - x) +$

$\bar{\varphi}'(at + x)$ ,  $\bar{v}(x, t) = \frac{v(x, t)}{V_0} = \bar{f}'(at - x) + \bar{\varphi}'(at + x)$ . Рассмотрим удар о жесткую преграду однородного и ступенчатого стержней с длинами участков:  $l_1 = 0, 2l$ ,  $l_2 = 0, 4l$ ,  $l_3 = 0, 4l$ . Соотношение площадей поперечных сечений каждого предыдущего участка к последу-

ющему:  $\lambda = \frac{A_1}{A_2} = \frac{A_2}{A_3} = 0, 33$ . Применим метод характеристик для построения поля состояний (рис. 2).

Области состояний  $\mathbf{I}_0 - \mathbf{I}_{14}$ ,  $\mathbf{II}_0 - \mathbf{II}_{20}$ ,  $\mathbf{III}_0 - \mathbf{III}_{19}$  с соответствующими значениями  $\bar{f}'(at - x)$ ,  $\bar{\varphi}'(at + x)$ ,  $\bar{\varepsilon}(x, t)$ ,  $\bar{v}(x, t)$  определяют параметры прямых и обратных волн деформаций, продольную деформацию и скорость поперечных сечений. Длительность состояния для произвольного сечения определяется разностью ординат  $t$ , которые имеют точки наклонных линий для этого сечения.

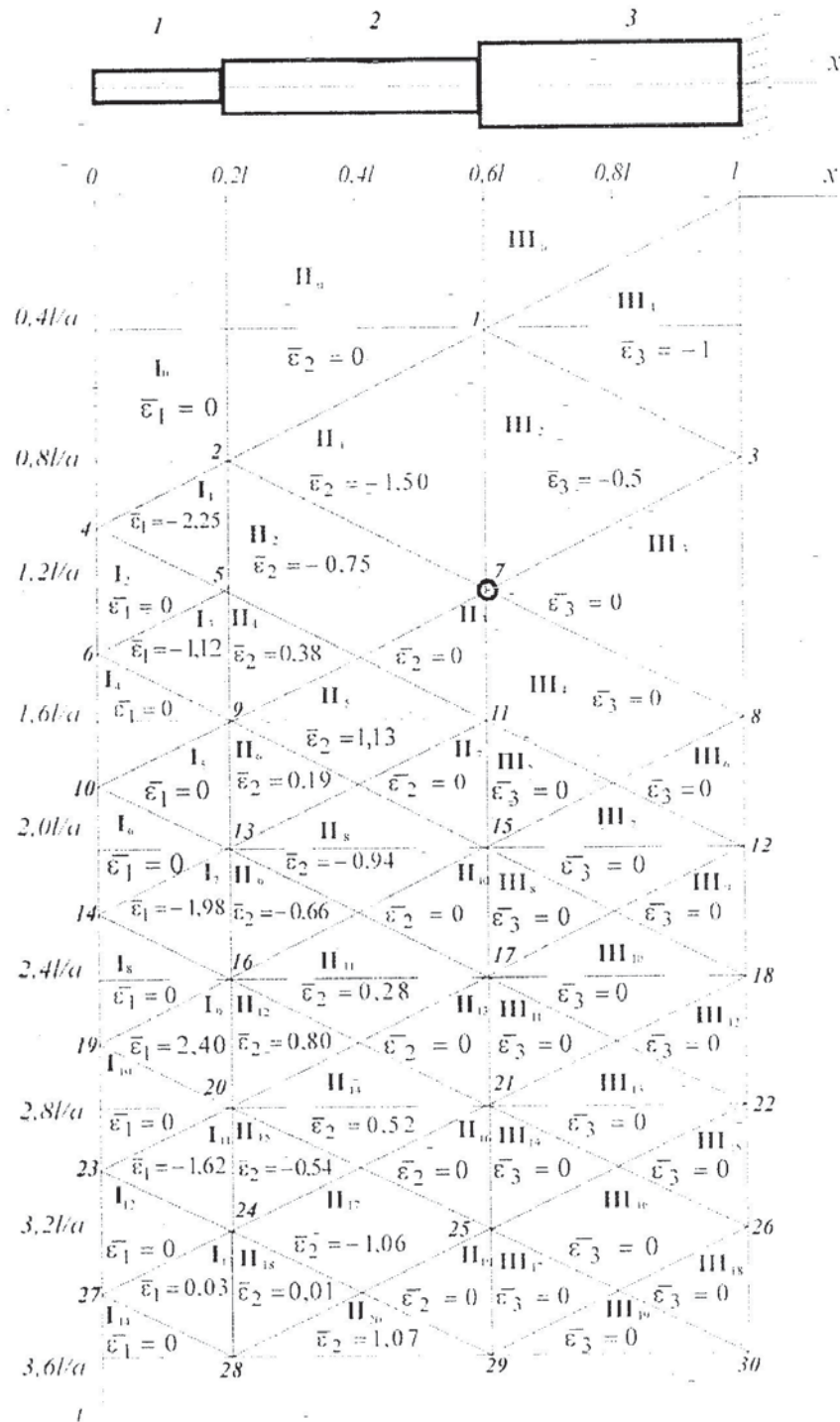


Рис. 2. Поле состояний при ударе однородного и ступенчатого стержней о жесткую преграду при неудерживающих связях

В момент времени  $t=0,4l/a$  к сечению  $x=l_1+l_2$  справа подходит обратная волна  $\bar{\varphi}'_3(at+x)=-0,5$  (линия  $l-1$ , рис. 2), слева падает начальная прямая волна  $\bar{f}'_0(at-x)=0,5$ . Эти волны формируют в сечении новые прямую волну  $\bar{f}'_3(at-0,6l)=0$  (линия  $l-3$ , рис. 2) и обратную волну  $\bar{\varphi}'(at+0,6l)=-1$  (линия  $l-2$ , рис. 2).

В области первого состояния третьего участка  $\text{III}_1$  его поперечные сечения охвачены

начальной прямой волной  $\bar{f}'_0(at-x)=0,5$  и отраженной от сечения  $x=l$  обратной волной  $\bar{\varphi}'_3(at+x)=-0,5$  (линия 1-1, рис. 2). Относительная продольная деформация в данной области  $\bar{\varepsilon}_3(x,t)=-1$ , относительная скорость  $\bar{v}_3(x,t)=0$ .

В области второго состояния третьего участка III<sub>2</sub> его поперечные сечения охвачены новой прямой волной  $\bar{f}'_3(at-x)=0$  (линия 1-3, рис. 2) и обратной волной  $\bar{\varphi}'_3(at+x)=-0,5$  (линия 1-1, рис. 2). Относительная продольная деформация в этой области  $\bar{\varepsilon}_3(x,t)=-0,5$ , относительная скорость  $\bar{v}_3(x,t)=-0,5$ .

В момент времени  $t=0,8l/a$  прямая волна  $\bar{f}'_3(at-x)=0$  достигнет сечения  $x=l$  и отразится в виде обратной волны  $\bar{\varphi}'_3(at+l)=0$  (линия 3-7, рис. 2). При  $t=1,2l/a$  данная обратная волна подойдет к сечению  $x=l_1+l_2$ , связь в котором неудерживающая. В этот же момент времени к сечению  $x=l_1+l_2$  слева подойдет прямая волна  $\bar{f}'_2(at-x)=-0,25$  (линия 2-7, рис. 2), имеющая отрицательный знак. Вследствие неудерживающей связи, скорость сечения  $x=l_1+l_2$  на участке 3 в момент времени  $t=1,2l/a$  будет равна нулю, а на участке 2 в этот же момент времени будет равна:  $\bar{v}_2(0,6l,t)=-0,5$ .

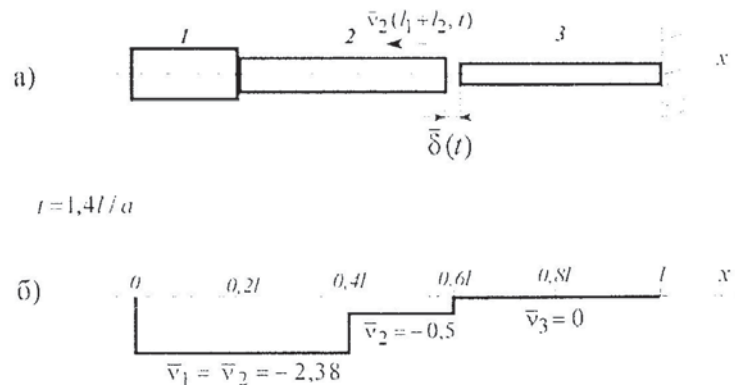


Рис. 3

Следовательно, на основании граничного условия (8) сечения  $x=l_1+l_2$  второго и третьего участков окажутся свободными, и произойдет отрыв ступенчатого и однородного стержней (рис. 3, а). На рис. 2 отрыв показан жирным кружком. Однородный стержень (участок 3) будет охвачен нулевыми прямой и обратной волнами, которые распространяясь по его длине и отражаясь от сечений  $x=l_1+l_2$  и  $x=l$ , не изменят своих величин. По этой причине скорости  $v$  и деформации  $\varepsilon$  во всех сечениях однородного стержня будут также равны нулю, и стержень будет находиться в ненагруженном состоянии.

При отрыве ступенчатого стержня от однородного, вследствие распространения и преобразования прямых и обратных волн на участках 1 и 2, скорость сечения  $x=l_1+l_2$  на втором участке будет отрицательной. Таким образом, повторные соударения стержней в сечении  $x=l_1+l_2$  и возникновение новых состояний на однородном участке 3 не произойдут. Относительное расстояние  $\bar{\delta}(t)$  (рис. 3, а) между однородным и ступенчатым стержнями с течением времени будет увеличиваться. Соответствующие величины функций  $\bar{f}'$ ,  $\bar{\varphi}'$ ,  $\bar{\varepsilon}$ ,  $\bar{v}$  для каждой области состояний представлены в таблице. На рис.

3, б представлена диаграмма относительной скорости  $\bar{v}$  поперечных сечений стержней в момент времени  $t=1,4l/a$ .

Таблица

Величины функций прямых и обратных волн, деформаций и скоростей

Области состояния	$\bar{f}'$	$\bar{\varphi}'$	$\bar{\varepsilon}$	$\bar{v}$	Области состояния	$\bar{f}'$	$\bar{\varphi}'$	$\bar{\varepsilon}$	$\bar{v}$
<b>ПЕРВЫЙ УЧАСТОК</b>									
$I_0$	0,50	0,50	0,00	1,00	$I_1$	0,50	-1,75	-2,25	-1,25
$I_2$	-1,75	-1,75	0,00	-3,50	$I_3$	-1,75	-0,63	1,12	-2,38
$I_4$	-0,63	-0,63	0,00	-1,26	$I_5$	-0,63	-0,63	0,00	-1,26
$I_6$	-0,06	-0,06	0,00	-0,12	$I_7$	-0,06	-2,04	-1,98	-2,10
$I_8$	-2,04	-2,04	0,00	-4,08	$I_9$	-2,04	0,36	2,40	-1,68
$I_{10}$	0,36	0,36	0,00	0,72	$I_{11}$	0,36	-1,26	-1,62	-0,90
$I_{12}$	-1,26	-1,26	0,00	-2,52	$I_{13}$	-1,26	-1,23	0,03	-2,51
$I_{14}$	-1,23	-1,23	0,00	-2,46					
<b>ВТОРОЙ УЧАСТОК</b>									
$II_0$	0,50	0,50	0,00	1,00	$II_1$	0,50	-1,00	-1,50	-0,50
$II_2$	-0,25	-1,00	-0,75	-1,25	$II_3$	-0,25	-0,25	0,00	-0,50
$II_4$	-1,38	-1,00	0,38	-2,38	$II_5$	-1,38	-0,25	1,13	-1,63
$II_6$	-0,44	-0,25	0,19	-0,69	$II_7$	-1,38	-1,38	0,00	-2,76
$II_8$	-0,44	-1,38	-0,94	-1,82	$II_9$	-0,72	-1,38	-0,66	-2,10
$II_{10}$	-0,44	-0,44	0,00	-0,88	$II_{11}$	-0,72	-0,44	0,28	-1,16
$II_{12}$	-1,24	-0,44	0,80	-1,68	$II_{13}$	-0,72	-0,72	0,00	-1,44
$II_{14}$	-1,24	-0,72	0,52	-1,96	$II_{15}$	-0,18	-0,72	-0,54	-0,90
$II_{16}$	-1,24	-1,24	0,00	-2,48	$II_{17}$	-0,18	-1,24	-1,06	-1,42
$II_{18}$	-1,25	-1,24	0,01	-2,49	$II_{19}$	-0,18	-0,18	0,00	-0,36
$II_{20}$	-1,25	-0,18	1,07	-1,43					
<b>ТРЕТИЙ УЧАСТОК</b>									
$III_0$	0,50	0,50	0,00	1,00	$III_1$	0,50	-0,50	-1,00	0,00
$III_2$	0,00	-0,50	-0,50	-0,50	$III_3$	0,00	0,00	0,00	0,00
$III_4$	0,00	0,00	0,00	0,00	$III_5$	0,00	0,00	0,00	0,00
$III_6$	0,00	0,00	0,00	0,00	$III_7$	0,00	0,00	0,00	0,00
$III_8$	0,00	0,00	0,00	0,00	$III_9$	0,00	0,00	0,00	0,00
$III_{10}$	0,00	0,00	0,00	0,00	$III_{11}$	0,00	0,00	0,00	0,00
$III_{12}$	0,00	0,00	0,00	0,00	$III_{13}$	0,00	0,00	0,00	0,00
$III_{14}$	0,00	0,00	0,00	0,00	$III_{15}$	0,00	0,00	0,00	0,00
$III_{16}$	0,00	0,00	0,00	0,00	$III_{17}$	0,00	0,00	0,00	0,00
$III_{18}$	0,00	0,00	0,00	0,00	$III_{19}$	0,00	0,00	0,00	0,00

Следует отметить, что ненагруженное состояние однородного стержня имеет место только при данных значениях  $l_1$ ,  $l_2$  и  $\lambda$ . При других параметрах  $l_1$ ,  $l_2$  и  $\lambda$  скорости и деформации в сечениях однородного стержня будут отличны от нуля.

#### СПИСОК ЛИТЕРАТУРЫ

1. Удар. Распространение волн деформаций в ударных системах / О. Д. Алимов, В. К. Манжосов, В. Э. Еремьянц. — М.: Наука, 1985. — 354 с.
2. Модель продольного удара однородного и неоднородного стержней о жесткую преграду при неударивающих связях / А. А. Битюрин, В. К. Манжосов // Вестник УлГТУ. — 2006. — № 1. — С. 20—23.
3. Малков О. Б. Динамика стержневых систем с внутренними граничными поверхностями. — Омск, 2000. — 112 с.
4. Манжосов В. К. Модели продольного удара. — Ульяновск, 2006. — 159 с.